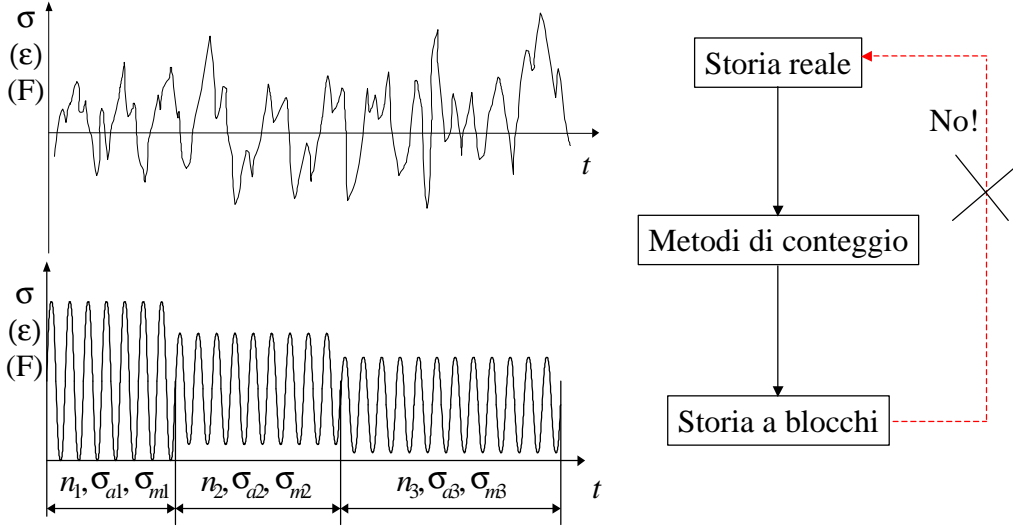




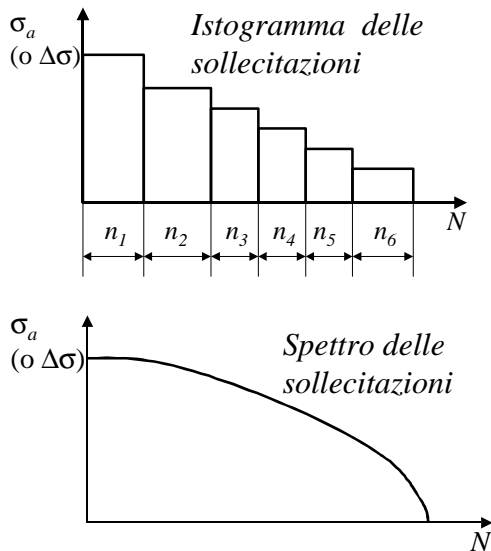
FATICA CON SOLLECITAZIONI AD AMPIEZZA VARIABILE



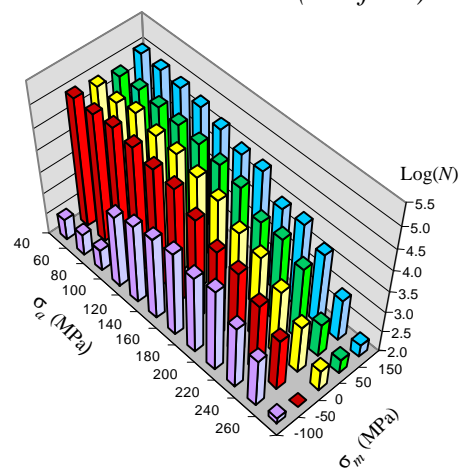
NB: si perde l'effetto della sequenza dei cicli

Fatica con sollecitazioni ad ampiezza variabile

Cumulativi di sollecitazione – Matrici delle sollecitazioni



Matrice degli eventi (rainflow)



Fatica con sollecitazioni ad ampiezza variabile



Danneggiamento – regola di Palmgren (1924) – Miner (1945)

Propagazione: danneggiamento = Δa (danno fisico)

Nucleazione: Danneggiamento = vita “consumata” (\neq danno fisico)

$$D_i = \frac{n_i}{N_i}$$

Numero di cicli nel blocco *iesimo*
Vita nell' *iesima* condizione

Regola di accumulo del danno lineare

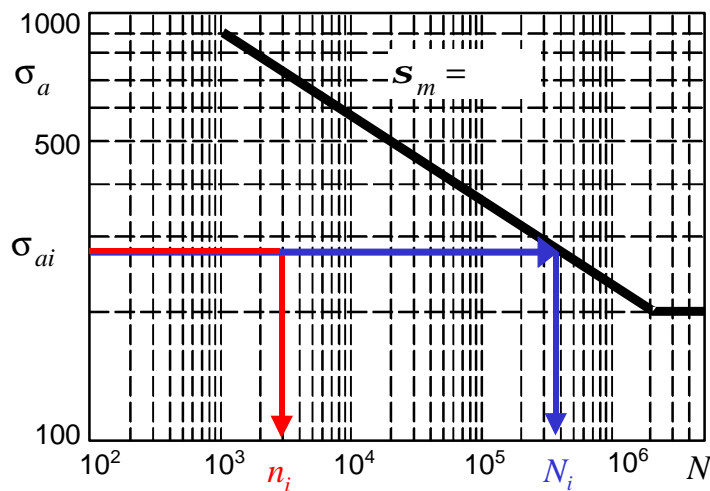
$$D = \sum D_i = \sum \frac{n_i}{N_i} = C \Leftrightarrow \text{rottura}$$

$C = 0.5 \div 2$ (Sperimentazione di Miner)

$C \approx 1$ storie di carico “pseudo random” $D = \sum D_i = \sum \frac{n_i}{N_i} = 1$

Fatica con sollecitazioni ad ampiezza variabile

3

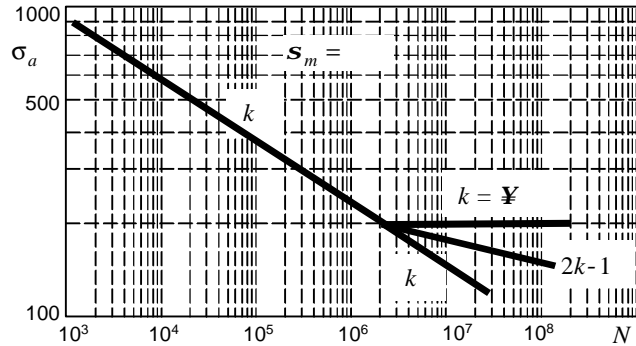


Fatica con sollecitazioni ad ampiezza variabile

4



... con la fatica ad ampiezza variabile il limite di fatica può scomparire



(Haibach)

Caso con tensione media variabile da blocco a blocco...

$$D = \sum D_i = \sum \frac{n_i}{N_i} \quad CS = \frac{1}{D} \quad (\text{in termini di durata})$$

Fatica con sollecitazioni ad ampiezza variabile

5

Caso con tensione media costante al variare dei blocchi

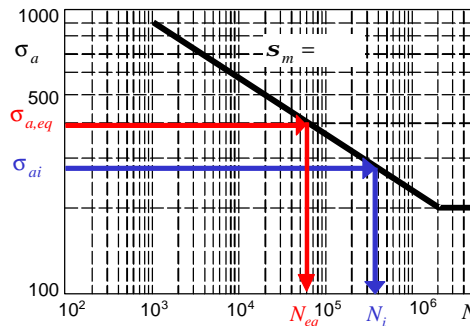
tensione e durata equivalente...

Data una $\sigma_{a,eq}$...

$$\frac{n_{eq}}{N_{eq}} = \sum \frac{n_i}{N_i} \quad (\text{stesso danno})$$

..diag. log-log

$$\sigma_{ai}^k N_i = \sigma_{a,eq}^k N_{eq} \Rightarrow \frac{N_{eq}}{N_i} = \frac{\sigma_{ai}^k}{\sigma_{a,eq}^k}$$



Fatica con sollecitazioni ad ampiezza variabile

6



$$\frac{n_{eq}}{N_{eq}} = \sum \frac{n_i}{N_i}$$

$$n_{eq} = N_{eq} \sum \frac{n_i}{N_i}$$

$$\sigma_{ai}^k N_i = \sigma_{a,eq}^k N_{eq} \Rightarrow \frac{N_{eq}}{N_i} = \frac{\sigma_{ai}^k}{\sigma_{a,eq}^k}$$

$$N_i = N_{eq} \frac{\sigma_{a,eq}^k}{\sigma_{ai}^k}$$

$$n_{eq} = N_{eq} \sum \frac{n_i}{N_{eq} \frac{\sigma_{a,eq}^k}{\sigma_{ai}^k}}$$

$$n_{eq} = \sum n_i \frac{\sigma_{ai}^k}{\sigma_{a,eq}^k}$$

$$\sigma_{a,eq} = \sqrt[k]{\frac{\sum n_i \sigma_{ai}^k}{n_{eq}}}$$

Fatica con sollecitazioni ad ampiezza variabile 7

$$n_{eq} = \sum n_i \frac{\sigma_{ai}^k}{\sigma_{a,eq}^k}$$

$$\sigma_{a,eq} = \sqrt[k]{\frac{\sum n_i \sigma_{ai}^k}{n_{eq}}}$$

Se si pone

$$n_{eq} = \sum n_i = N_C$$

(numero complessivo di cicli)

$$\sigma_{a,eq} = \sqrt[k]{\sum \alpha_i \sigma_{ai}^k}$$

$$\alpha_i = n_i / N_C$$

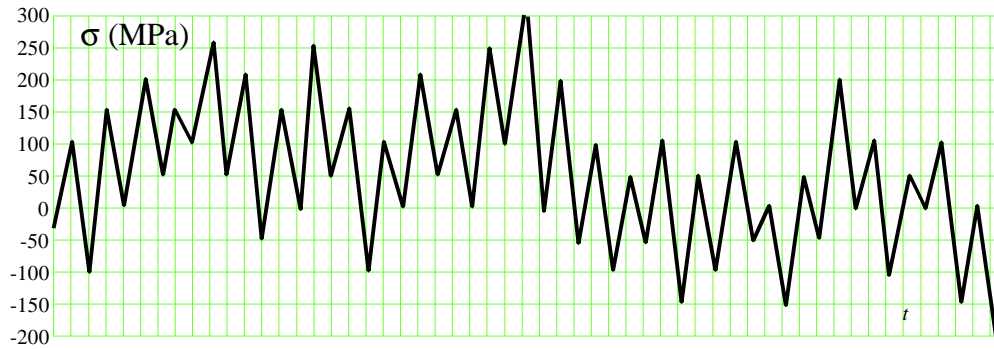
Utile per:
Prove di delibera accelerate
Calcoli di prima impostazione

Fatica con sollecitazioni ad ampiezza variabile 8



Metodi di conteggio

Storia di carico

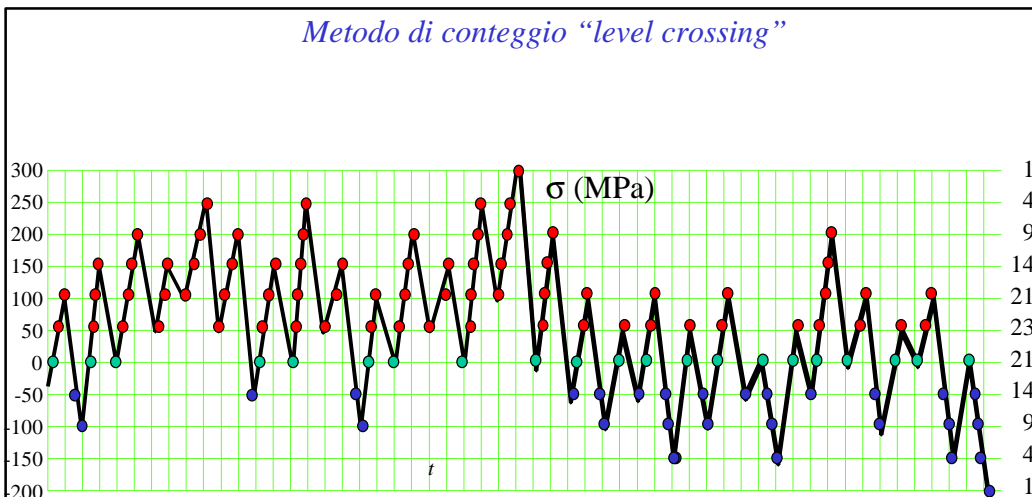


Metodi monoparametrici: **level crossing counting**, peak counting,
peak –valley counting, mean crossing
counting
Metodi biparametrici: range pair counting, **rainflow**

Fatica con sollecitazioni ad ampiezza variabile

9

Metodo di conteggio “level crossing”

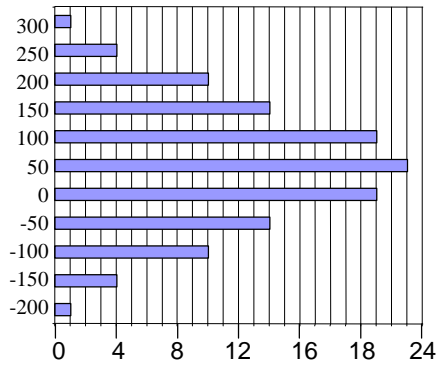


Fatica con sollecitazioni ad ampiezza variabile

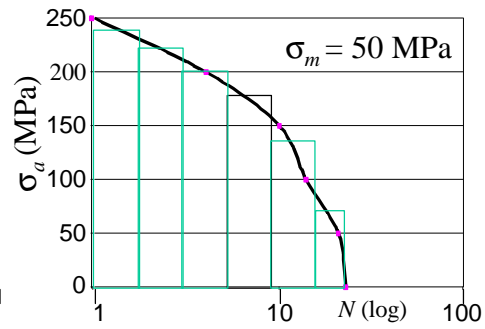
10



Istogramma “orizzontale”



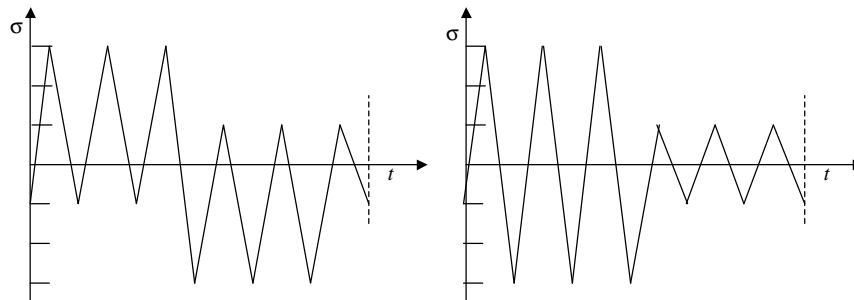
Spettro di carico
istogramma



Fatica con sollecitazioni ad ampiezza variabile

11

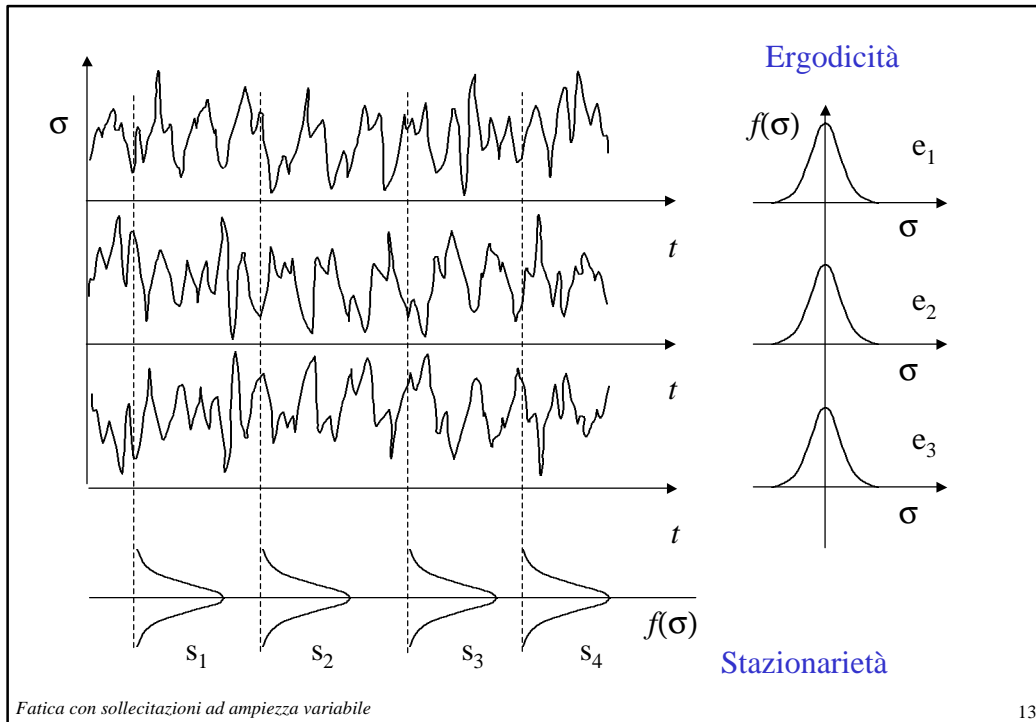
Problema: queste due storie di carico danno lo stesso conteggio

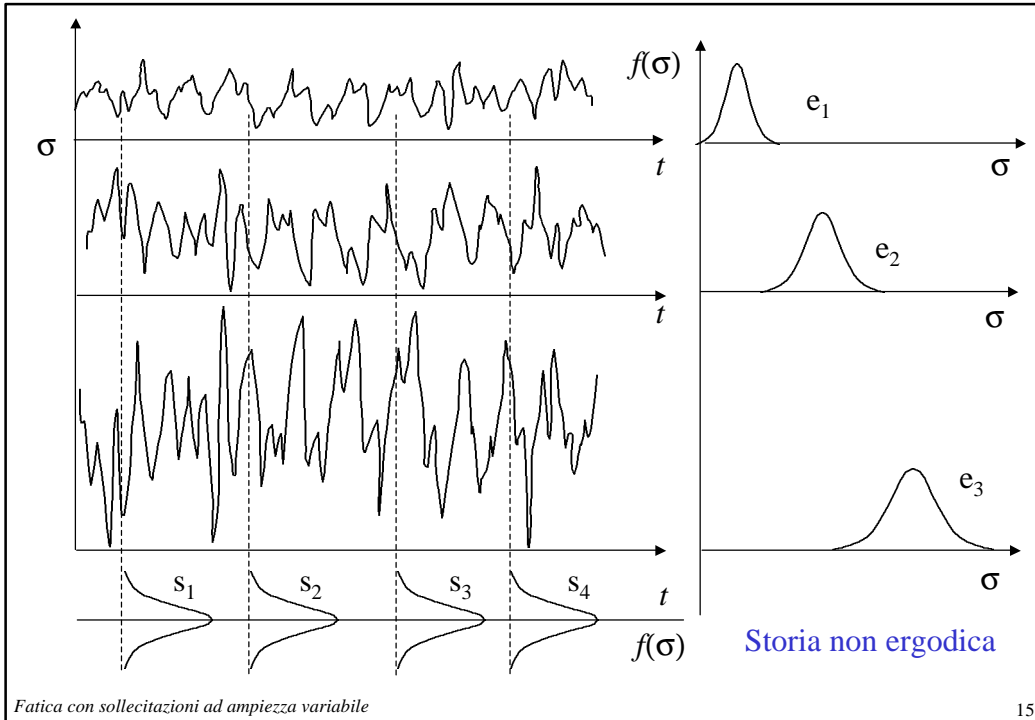


Motivo: le storie di carico devono essere stazionarie ed ergodiche

Fatica con sollecitazioni ad ampiezza variabile

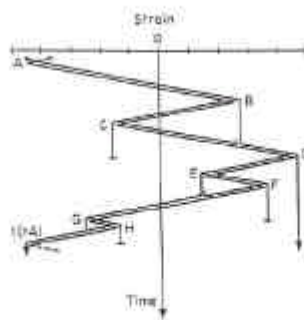
12





Esistono diversi altri metodi di conteggio, ma attualmente il più utilizzato è il *rain-flow*

- **Matsuishi & Endo (1968) analogy: "Falling Rain" on "Pagoda Roof"**

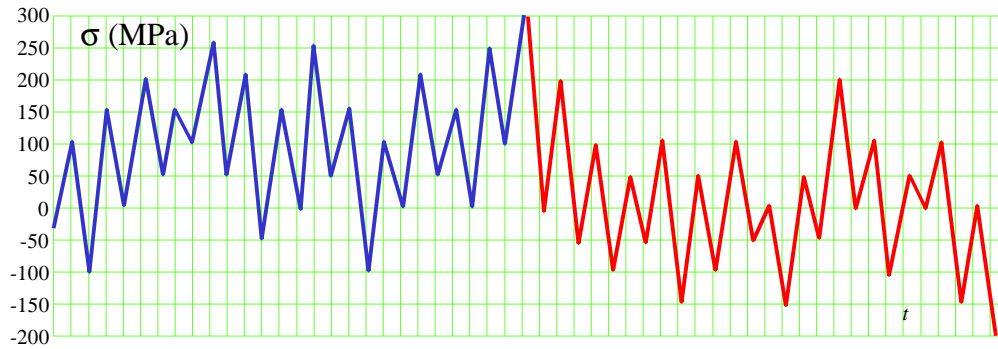


Il metodo rain-flow non richiede stazionarietà ed ergodicità.

Cycles: A-D, B-C, E-F, G-H (Same as Hysteresis loops)



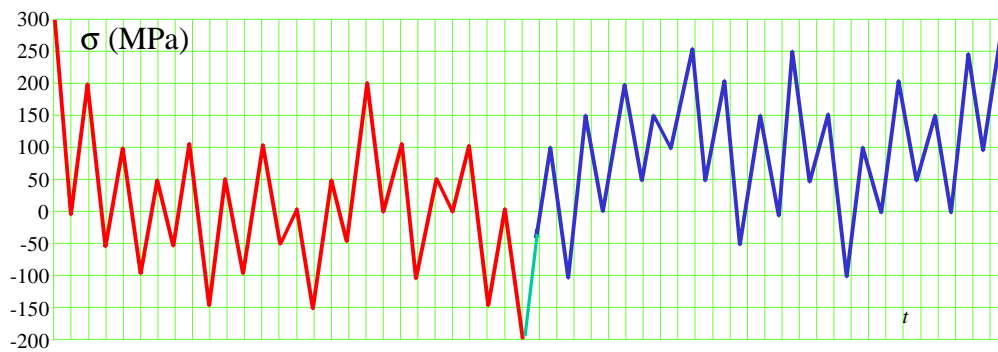
Metodo di conteggio rainflow (versione del serbatoio)



La storia viene modificata in modo da avere agli estremi il picco più alto

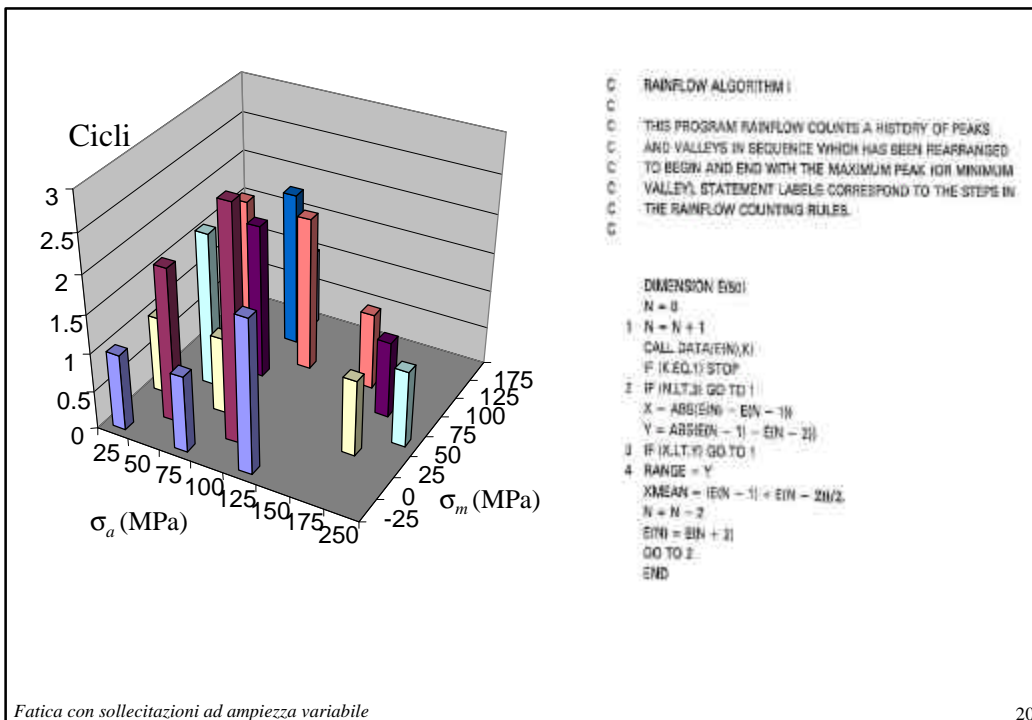
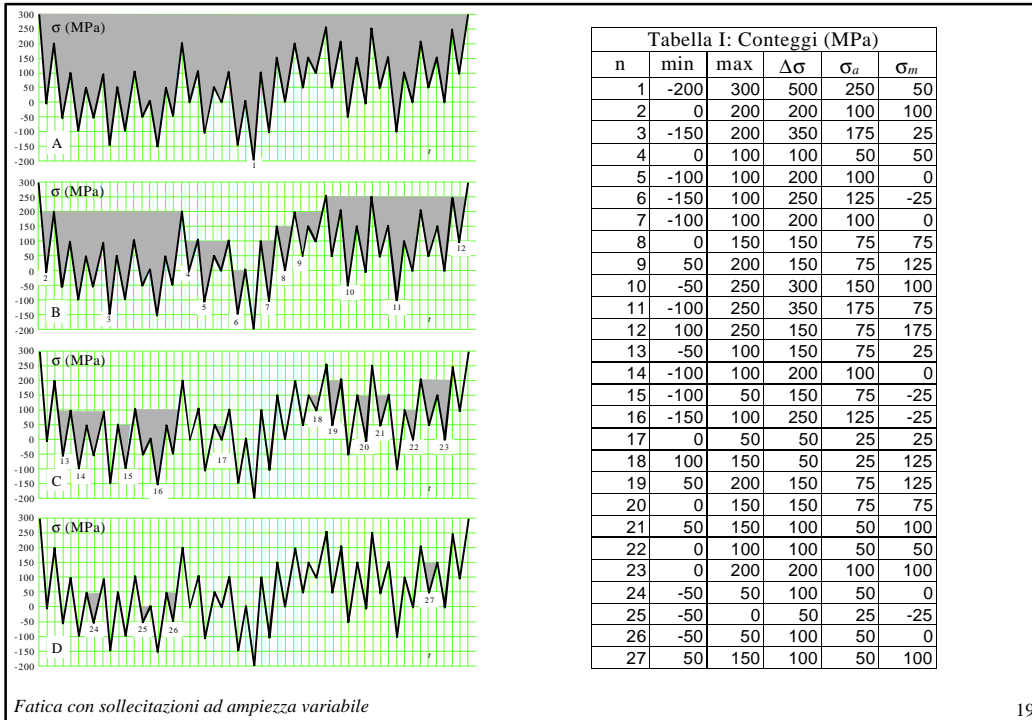
Fatica con sollecitazioni ad ampiezza variabile

17



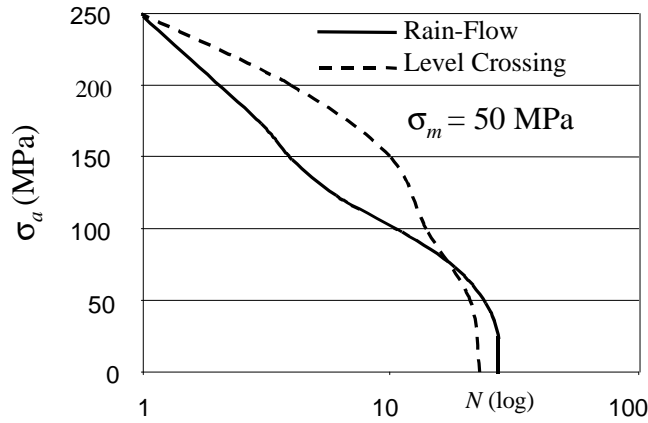
Fatica con sollecitazioni ad ampiezza variabile

18





Confronto applicazione dei due metodi all'esempio



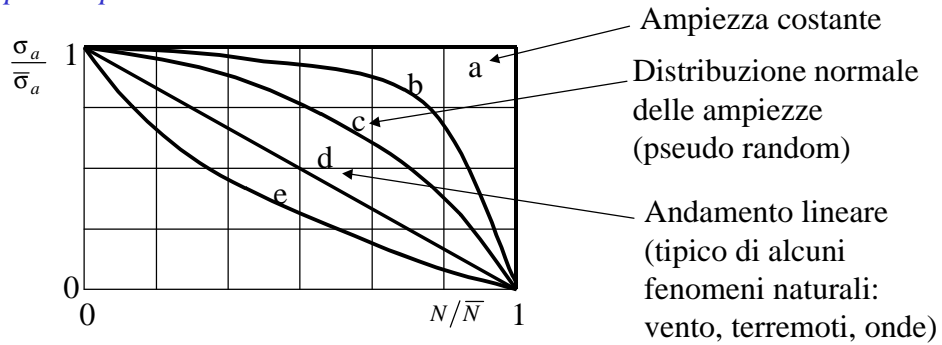
NB: il metodo rain-flow non richiede stazionarietà ed ergodicità.

Esistono dispositivi di conteggio digitali che permettono l'acquisizione dei dati senza la necessità di registrare l'intera storia! (*real time rainflow*)

Fatica con sollecitazioni ad ampiezza variabile

21

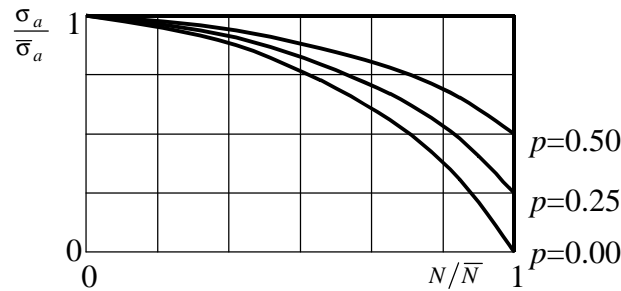
Spettri tipici



Ampiezza costante

Distribuzione normale
delle ampiezze
(pseudo random)

Andamento lineare
(tipico di alcuni
fenomeni naturali:
vento, terremoti, onde)



$$p = \frac{\sigma_{a,\min}}{\sigma_a}$$

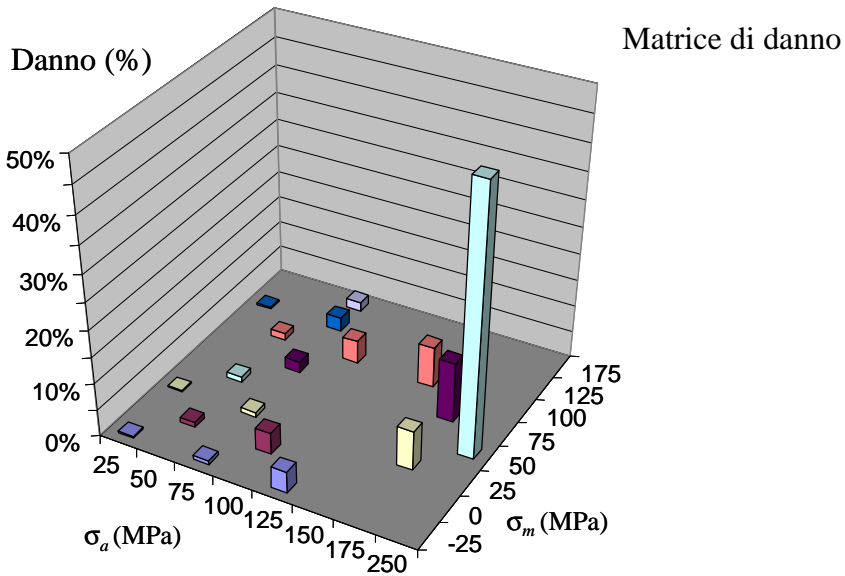
legato alla
risoluzione del
metodo di conteggio

Fatica con sollecitazioni ad ampiezza variabile

22



Danneggiamento calcolato per l'esempio



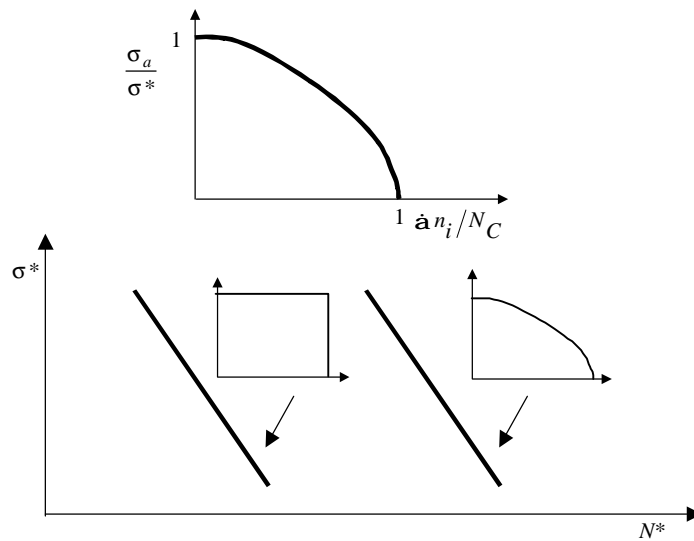
Fatica con sollecitazioni ad ampiezza variabile

23

Curve di Gassner

Analoghe a quelle di Wöhler.

σ_a sostituita da σ^* di un cumulativo di forma prefissata, N sostituito da N^*

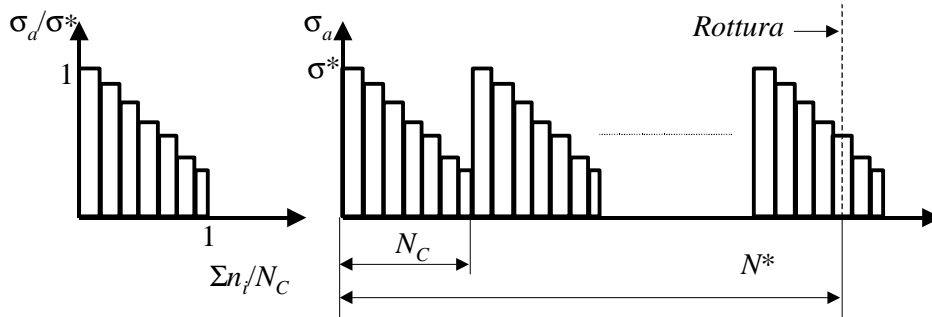


Fatica con sollecitazioni ad ampiezza variabile

24



Ottenibile sperimentalmente:



Stimabile per via numerica a partire dalla curva SN e con la regola di Miner:

$$D_C = \sum D_i = \sum \frac{n_i}{N_i} \qquad N^* = \frac{N_C}{D_C} = CS \cdot N_C$$

Fatica con sollecitazioni ad ampiezza variabile

25

Metodo Locati

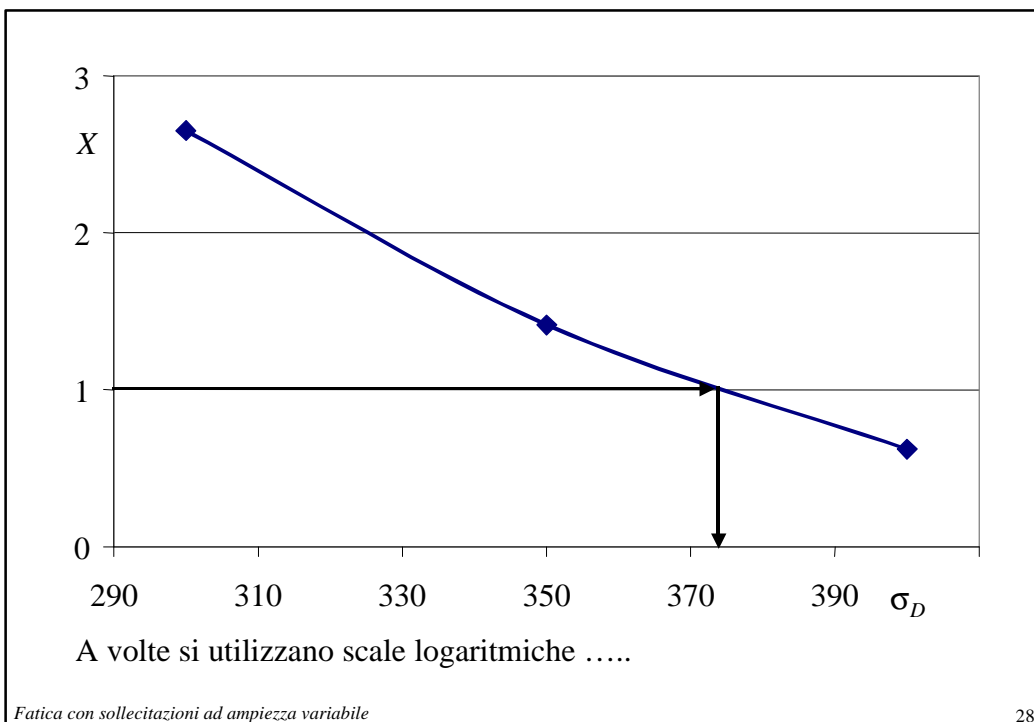
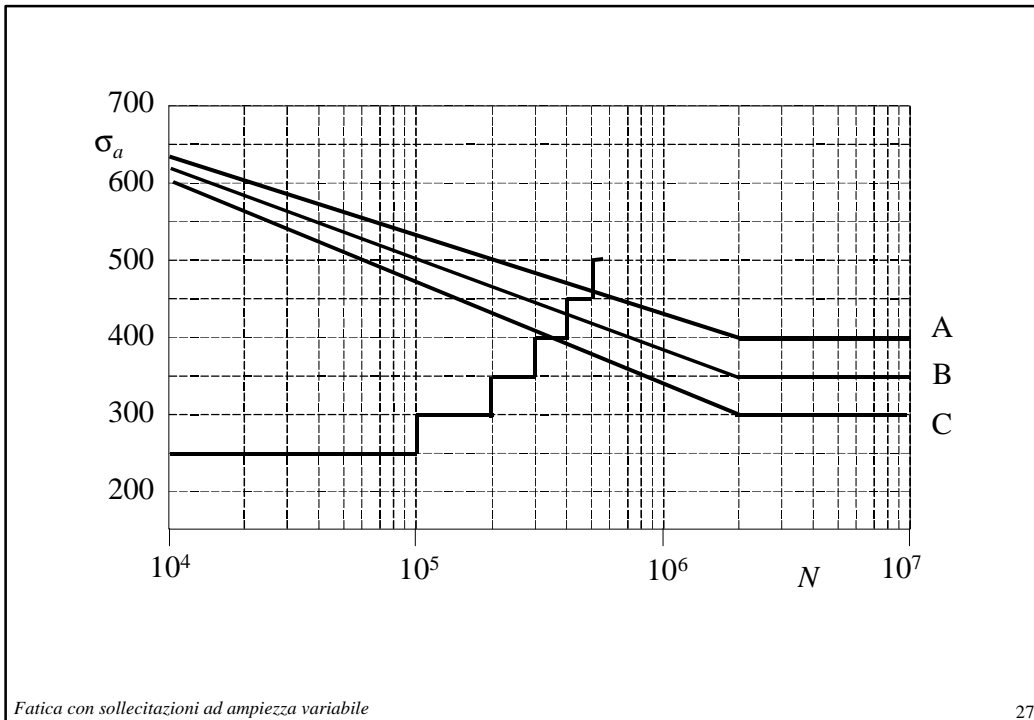
- Procedura accelerata per ottenere una stima del limite di fatica
- Basata sulla regola di Miner
- Nato nell'ambito dei controlli qualità
- Si porta a rottura il componente sollecitandolo con blocchi di carico di uguale numero di cicli (n) e con ampiezza crescente con incrementi costanti passando da un blocco al successivo.
- Utilizzando tre (*minimo*) diverse curve di Wöhler (A, B, C) con tre differenti limiti di fatica si ricavano i tre danneggiamenti al momento della rottura:

$$\sum \frac{n_i}{N_{iA}} = X_A \qquad \sum \frac{n_i}{N_{iB}} = X_B \qquad \sum \frac{n_i}{N_{iC}} = X_C$$

- Il limite di fatica viene ricavato utilizzando un diagramma del danno calcolato in funzione del limite di fatica in corrispondenza del valore unitario del danno

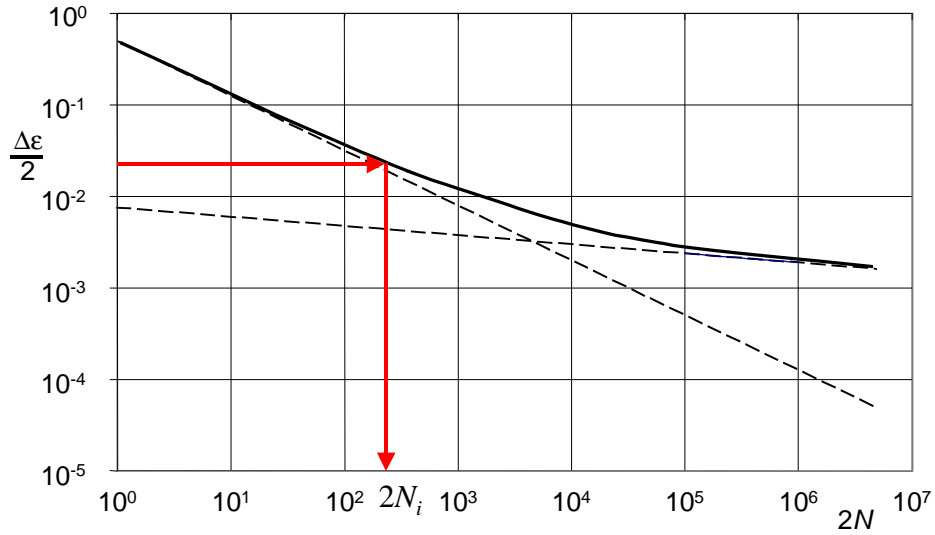
Fatica con sollecitazioni ad ampiezza variabile

26





Utilizzo della regola di Miner con la Fatica in ϵ

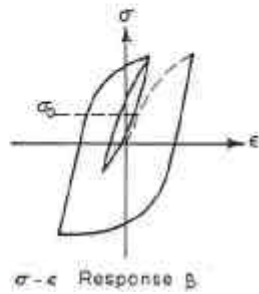
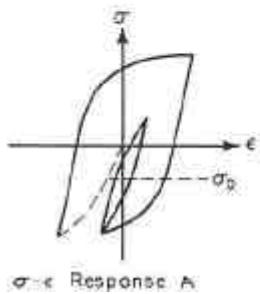
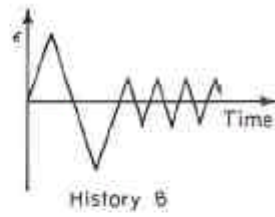
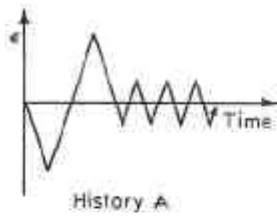


Con gli intagli si utilizza la regola di Neuber

Fatica con sollecitazioni ad ampiezza variabile

29

Tensione media ?



Si hanno
tensioni residue
dovute alla storia
precedente

Fatica con sollecitazioni ad ampiezza variabile

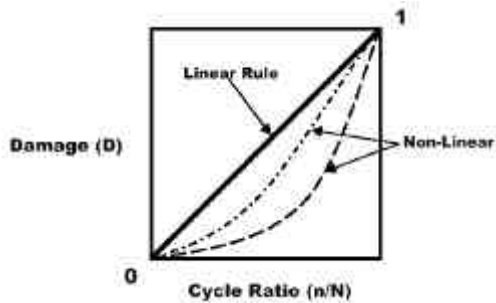
30



Come tenerne conto ?

A) Regole di accumulo del danno non lineari:

$$D = \sum \left(\frac{n_i}{N_i} \right)^p = C$$



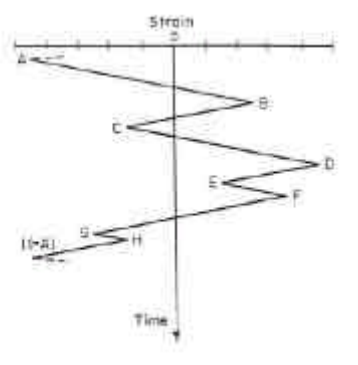
p = parametro di forma:
Dipende dalla storia di carico
e deve essere determinato
sperimentalmente

Utilizzate solo in campi particolari
(es: fatica + creep)

Fatica con sollecitazioni ad ampiezza variabile

31

B) Analisi ciclo per ciclo



Per ogni ciclo si individuano i parametri (ϵ_{\max} , ϵ_{\min} , σ_m)

$$\frac{\Delta \epsilon}{2} = \frac{\sigma'_f - \sigma_m}{E} (2N)^b + \epsilon'_f (2N)^c \implies D_i = \frac{1}{N_i}$$

Fatica con sollecitazioni ad ampiezza variabile

32



Problemi:

- La storia di carico deve essere conosciuta con precisione anche come sequenza (non essere un campione della missione)
- Tempo di calcolo elevatissimo
- Spesso si hanno solo gli istogrammi di carico (real time rainflow...)
- Si ipotizza comunque che i cicli siano stabilizzati (a meno di non conoscere le leggi di addolcimento-incrudimento)
- Non si tiene conto del rilassamento delle tensioni

Nonostante questi problemi il metodo è implementato
in molti codici di calcolo commerciali

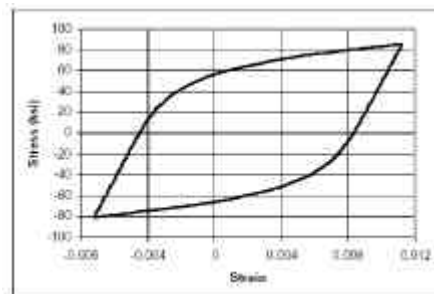
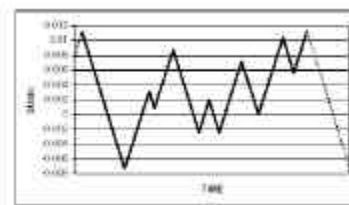
Fatica con sollecitazioni ad ampiezza variabile

33

C) upper & lower bound method

Si utilizza il metodo rainflow e si
disegna il più grande ciclo possibile
Tutti gli altri cicli saranno all'interno
Si fanno tre calcoli:

- Lower bound
- Upper bound
- Midrange



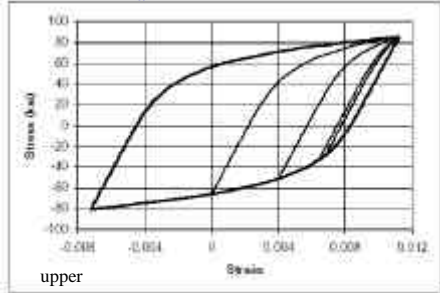
Fatica con sollecitazioni ad ampiezza variabile

34

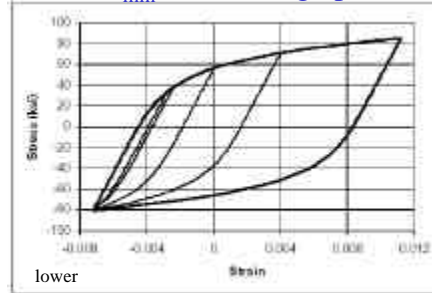


Utilizzo Morrow o STW

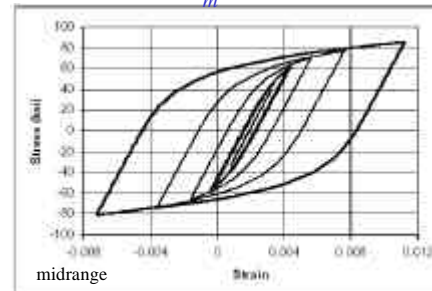
Stessa σ_{max} : vita + corta possibile



Stessa σ_{min} : vita + lunga possibile



Stessa σ_m : vita media

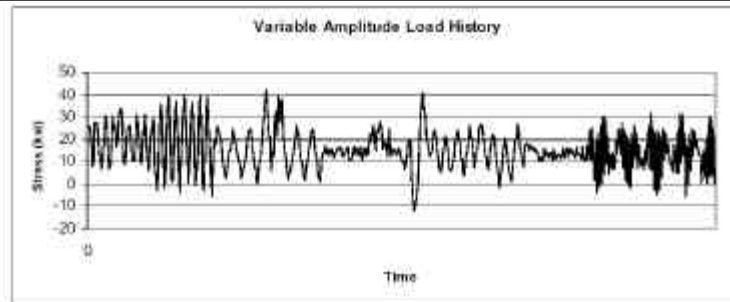


Se i tre valori della vita sono simili,
il valor medio conta poco e lo posso
trascurare

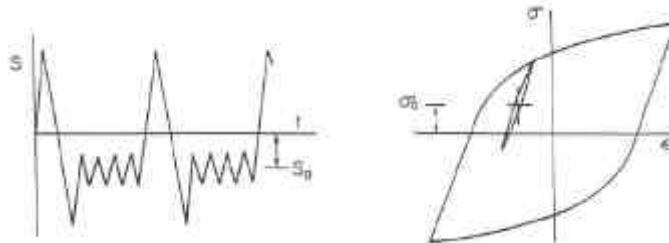
Fatica con sollecitazioni ad ampiezza variabile

35

Per molte storie
“random” non
polarizzate
(stessa tensione
media) i tre
valori sono
simili



I tre valori
differiscono per
storie con
sollecitazioni
polarizzate



Fatica con sollecitazioni ad ampiezza variabile

36

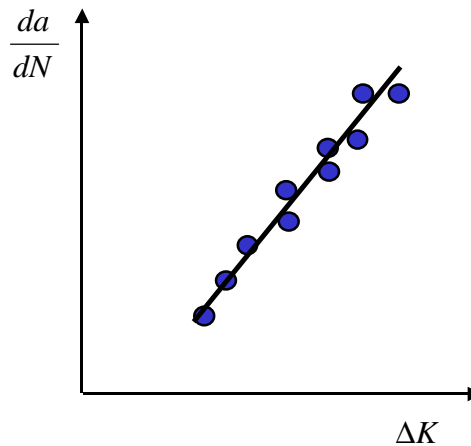


Propagazione delle cricche con carichi ad ampiezza variabile

La propagazione delle cricche con carichi ad ampiezza costante viene descritta con la legge di Paris

Paris (1963)

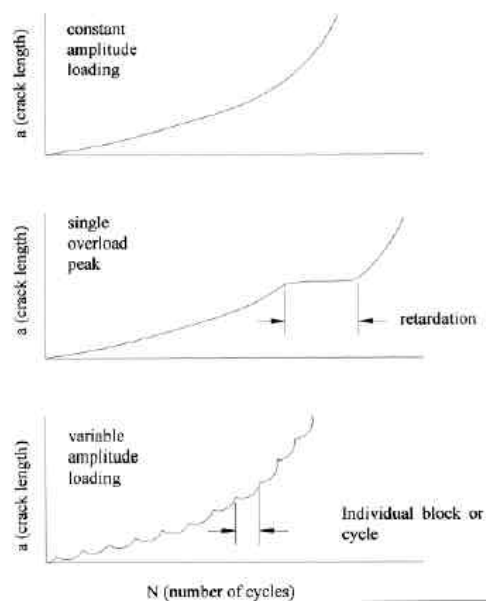
$$\frac{da}{dN} = C\Delta K^n$$



Fatica con sollecitazioni ad ampiezza variabile

37

Con carichi ad ampiezza variabile la propagazione è influenzata da vari fattori:



- load sequence,
- changes in crack front geometry,
- crack closure,
- residual stresses,
- crack tip blunting, and
- strain hardening.

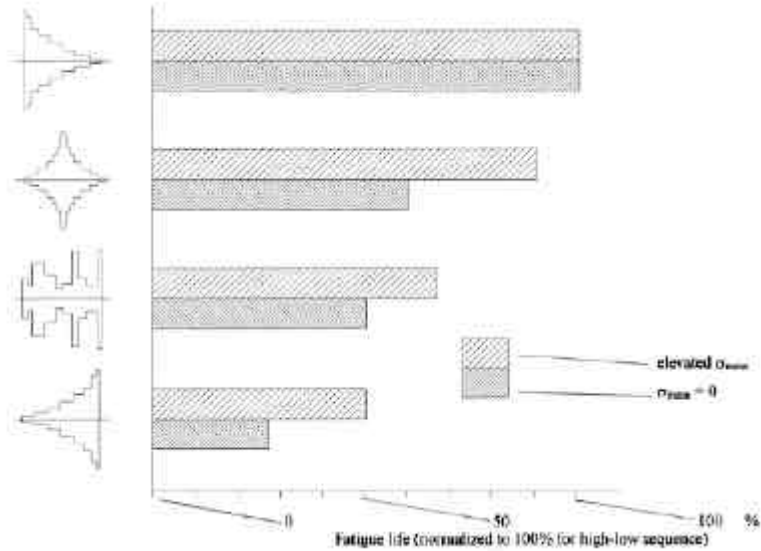
Vediamo i principali...

Fatica con sollecitazioni ad ampiezza variabile

38



Sequenza:



Fatica con sollecitazioni ad ampiezza variabile

39

*Cambio della direzione di
propagazione:*

Di entità notevole specie
dopo un sovraccarico

Dovuta ad disomogeneità,
eventuali effetti dei modi II
e III

crack growth direction
→

kinked crack

forked crack

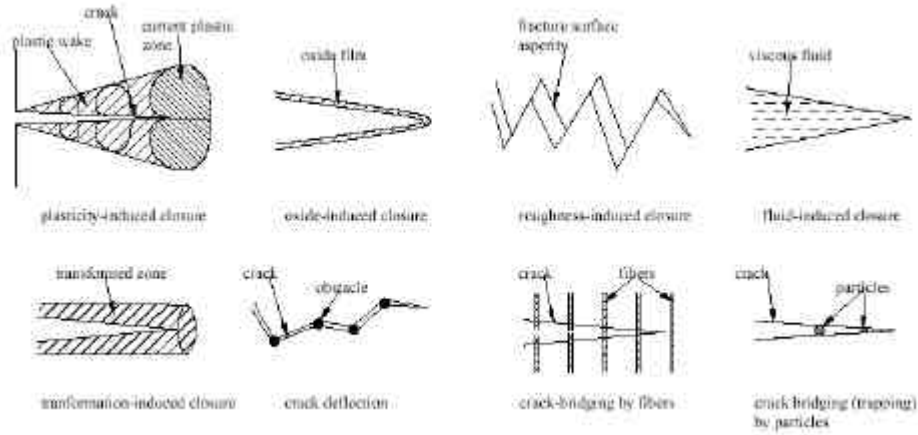
double kinked crack

Fatica con sollecitazioni ad ampiezza variabile

40



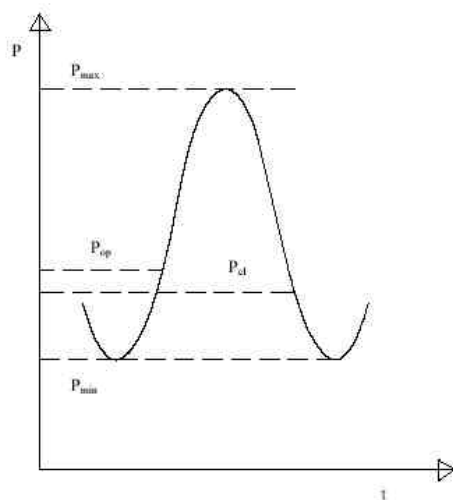
Crack closure:



Fatica con sollecitazioni ad ampiezza variabile

41

Si potrebbe anche parlare di *crack opening load*, ma i due carichi sono sostanzialmente indistinguibili



$$\Delta K_{eff} = K_{max} - K_{op}$$

Fatica con sollecitazioni ad ampiezza variabile

42



Metodi calcolo: Cycle by cycle, Characteristics method

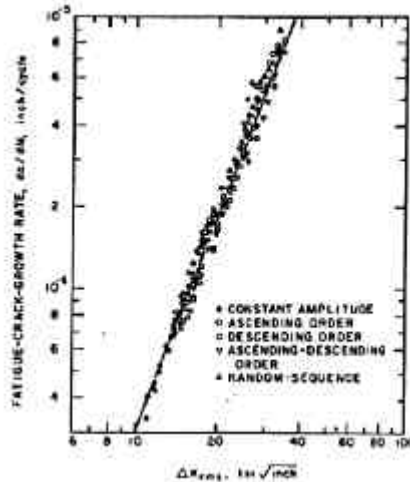
Cycle by cycle: vari modelli per tener conto degli effetti visti prima, piuttosto complessi: Weelher, Dugdale, Elber (vedi letteratura)

Characteristics method:

Modello di Barsom: basato sul “valore efficace” (root mean square)

$$\frac{da}{dN} = C \Delta K_{rms}^m$$

$$\Delta K_{rms} = \sqrt{\frac{1}{n} \sum_1^n \Delta K^2}$$

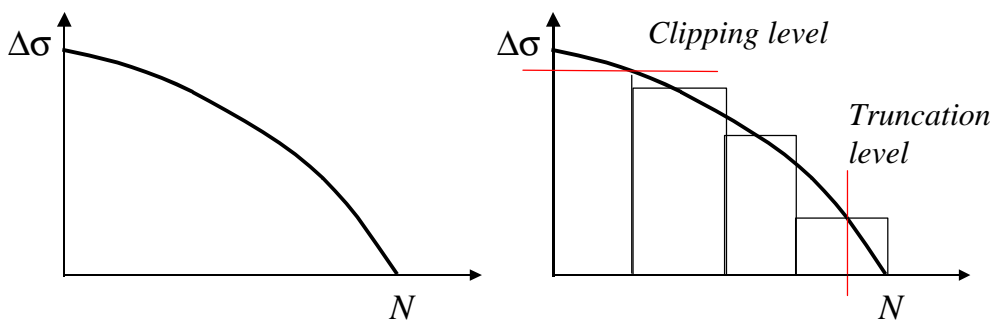


Fatica con sollecitazioni ad ampiezza variabile

43

Integrazione lineare

Molto spesso non si ha a disposizione la time history ma solo lo spettro di carico (e spesso è una rappresentazione statistica della realtà)



Clipping level: utilizzato per tener conto che i carichi più elevati potrebbero dare valutazioni sbagliate (ritardo....)

Truncation level: per non tener conto dei cicli che concorrono in modo trascurabile alla propagazione (compensato...)

Fatica con sollecitazioni ad ampiezza variabile

44



Si divide il numero complessivo di cicli in gruppi più piccoli e si integra numericamente ogni blocco.

La dimensione del blocco è accettabile quando la cricca, alla fine del gruppo, ha avuto un aumento $\leq 5\%$ rispetto alla lunghezza iniziale

